

ЧИСЛЕННАЯ МОДЕЛЬ ДИНАМИКИ БЕЗЫМПУЛЬСНОГО ТУРБУЛЕНТНОГО СЛЕДА В ПИКНОКЛИНЕ

УДК 532.517.4

О. Ф. Воропаева, Г. Г. Черных

Институт вычислительных технологий СО РАН, 630090 Новосибирск

1. Введение. Турбулентные следы за телами вращения в стратифицированной жидкости рассматривались в ряде работ [1–21]. В [1] выполнен экспериментальный анализ динамики турбулентного следа за самодвижущимся телом в линейно стратифицированной среде, продемонстрированы коллапс и генерация следом внутренних волн. Явление коллапса безымпурсного следа в линейно стратифицированной среде экспериментально изучалось в [2]. Детальное исследование характеристик турбулентности в следах за телами, движущимися в линейно стратифицированной среде, осуществлено в лабораторных опытах [3] (см. также [4]). Экспериментальный анализ картины внутренних волн, генерируемых при движении тел в стратифицированных жидкостях, выполнен в [5]. Там же представлены теоретические оценки внутренних волн, включая волны, индуцируемые коллапсом турбулентного следа в пикноклине.

Серия работ [6–13] посвящена течению, возникающему при движении буксируемой сферы в линейно стратифицированной жидкости. Изучались различные режимы течения в зависимости от чисел Рейнольдса и Фруда как в ближнем следе, так и в дальнем. В [10] экспериментально и теоретически исследованы внутренние волны, генерируемые при движении сферы в линейно стратифицированной жидкости. Рассмотрена волновая составляющая следа, связанная с когерентными структурами. Детальный анализ экспериментальных данных о вырождении турбулентных следов за буксируемыми и самодвижущимися телами в линейно стратифицированных жидкостях и теоретические оценки параметров внутренних волн выполнены в [12, 14].

Теоретически начальная стадия развития следа в линейно стратифицированной среде изучена в [15] с использованием разработанной алгебраической модели рейнольдсовых напряжений и потоков. Численное моделирование турбулентного следа и генерируемых при его коллапсе внутренних волн для небольших расстояний от самодвижущегося тела в линейно стратифицированной среде, основанное на модели локально-равновесного приближения, проведено в [16].

В [4] для численного анализа следов за самодвижущимся и несамодвижущимся телами в линейно стратифицированной среде применялась модифицированная модель локально-равновесного приближения с привлечением уравнений переноса энергии турбулентности и скорости ее диссипации. Получено удовлетворительное соответствие с экспериментальными данными Линя и Пао по изменению характерных размеров следа, дефекта скорости и энергии турбулентности на оси следа в зависимости от расстояния от тела (для одного из значений плотностного числа Фруда). Однако, как справедливо отмечалось в [22], воздействие стратификации для самодвижущегося тела оказалось более сильным, чем наблюдалось в экспериментах.

Как пример применения неявного варианта метода расщепления по физическим процессам к расчету стратифицированных течений турбулентный след за самодвижущимся телом в линейно стратифицированной среде рассмотрен в [17]. Численному моделированию турбулентных следов за телами в стратифицированных жидкостях посвящены также работы [18–21], причем в [19] оценена роль начальной закрутки при эволюции безымпурсного

турбулентного следа в линейно стратифицированной среде. В [20, 21] рассмотрен вариант безимпульсного следа в жидкости с нелинейным распределением плотности по глубине, а для линейной стратификации получено удовлетворительное соответствие с экспериментальными данными [3] об анизотропном вырождении интенсивностей турбулентных флуктуаций поля скорости.

В работах [2, 23–26] турбулентные следы изучались с применением схематизированной плоской модели. Рассматривалась плоская нестационарная задача об эволюции области локализованных возмущений в линейно стратифицированной жидкости. Изучению динамики плоских локализованных областей турбулизованной жидкости в средах с нелинейной стратификацией посвящены работы [27–30].

Простая аналитическая квазиодномерная модель эволюции области турбулентных возмущений в следе за телом, движущимся в линейно стратифицированной среде, построена в [31].

Анализируя приведенную выше литературу, необходимо отметить следующее. Вырождение безимпульсных турбулентных следов в линейно стратифицированной жидкости изучено достаточно подробно. Имеются как экспериментальные результаты, так и согласующиеся с ними результаты расчетно-теоретического моделирования.

Значительно сложнее ситуация в случае нелинейной стратификации. Практически отсутствуют данные лабораторных экспериментов о вырождении собственно турбулентного следа. Представленные в [28, 29] результаты расчетов получены на основе схематизированной плоской модели. При этом остается открытым вопрос о роли дефекта горизонтальной компоненты скорости в направлении, совпадающем с направлением движения тела. Нет привязки к результатам лабораторных экспериментов [3] в однородной жидкости. Особую роль среди нелинейных распределений плотности невозмущенной жидкости по глубине занимает пикноклин. В этом случае может формироваться близкая к стационарной картина внутренних волн конечной амплитуды [5, 25]. В известных авторам публикациях отсутствуют результаты численного моделирования динамики безимпульсного турбулентного следа в пикноклине. В настоящей работе предпринята попытка численного исследования этого течения с применением модифицированной $(\epsilon - \epsilon)$ -модели турбулентности.

2. Постановка задачи. Основные уравнения. Для описания течения в дальнейшем турбулентном следе за осесимметричным телом вращения в стратифицированной среде привлекается следующая система осредненных уравнений движения, неразрывности и несжимаемости в приближении Обербека — Буссинеска:

$$U_\infty \frac{\partial U_D}{\partial x} + V \frac{\partial U_D}{\partial y} + W \frac{\partial U_D}{\partial z} = \frac{\partial}{\partial y} \langle u'v' \rangle + \frac{\partial}{\partial z} \langle u'w' \rangle; \quad (2.1)$$

$$U_\infty \frac{\partial V}{\partial x} + V \frac{\partial V}{\partial y} + W \frac{\partial V}{\partial z} = -\frac{1}{\rho_0} \frac{\partial \langle p_1 \rangle}{\partial y} - \frac{\partial}{\partial y} \langle v'^2 \rangle - \frac{\partial}{\partial z} \langle v'w' \rangle; \quad (2.2)$$

$$U_\infty \frac{\partial W}{\partial x} + V \frac{\partial W}{\partial y} + W \frac{\partial W}{\partial z} = -\frac{1}{\rho_0} \frac{\partial \langle p_1 \rangle}{\partial z} - \frac{\partial}{\partial y} \langle v'w' \rangle - \frac{\partial}{\partial z} \langle w'^2 \rangle - g \frac{\langle \rho_1 \rangle}{\rho_0}; \quad (2.3)$$

$$U_\infty \frac{\partial \langle \rho_1 \rangle}{\partial x} + V \frac{\partial \langle \rho_1 \rangle}{\partial y} + W \frac{\partial \langle \rho_1 \rangle}{\partial z} + W \frac{d\rho_s}{dz} = -\frac{\partial}{\partial y} \langle v'\rho' \rangle - \frac{\partial}{\partial z} \langle w'\rho' \rangle; \quad (2.4)$$

$$\frac{\partial V}{\partial y} + \frac{\partial W}{\partial z} = 0. \quad (2.5)$$

Здесь $U_D = U_\infty - U$ — дефект осредненной продольной компоненты скорости; U, V, W — компоненты скорости осредненного движения в направлении осей x, y, z ; p_1 — отклонение давления от гидростатического, обусловленного стратификацией $\rho_s(z)$; U_∞ — скорость набегающего невозмущенного потока; g — ускорение силы тяжести; $\langle \rho_1 \rangle$ — осреднен-

ный дефект плотности: $\rho_1 = \rho - \rho_s$; $\rho_s = \rho_s(z)$ — плотность невозмущенной жидкости: $d\rho_s/dz \leq 0$ (устойчивая стратификация); $\rho_0 = \rho_s(0)$; штрихом обозначены пульсационные составляющие; $\langle \rangle$ — осреднение. Система координат связана с движущимся телом так, что скорость его движения равна $-U_\infty$, а ось z направлена вертикально вверх, против силы тяжести. Плотность жидкости считается линейной функцией температуры, стратификация предполагается слабой. В правых частях уравнений (2.1)–(2.4) опущены в предположении малости слагаемые, содержащие производную по переменной x , а также множители в виде коэффициента ламинарной вязкости или диффузии. Так же, как и в [4], в (2.5) в предположении малости отброшено слагаемое $\partial U/\partial x$. Делая последнее упрощение, авторы основывались на высказанных в [4] соображениях, суть которых заключается в том, что в однородной жидкости система уравнений (2.1)–(2.5) эквивалентна системе уравнений дальнего следа; при этом $V = W \approx 0$, а уравнения (2.2), (2.3), (2.5) не рассматриваются. В случае динамики следа в стратифицированной жидкости в плоскости (y, z) возникает конвективное течение, соответствующее генерируемым следом внутренним волнам. Вырождение компонент скорости V, W происходит значительно медленнее, чем вырождение $U_D = U_\infty - U$. Данное утверждение представляется весьма правдоподобным для рассматриваемых в настоящей работе безымпультных следов. Кроме того, в работе [20] с участием авторов проведены численные эксперименты, в которых для одного из вариантов параметров задачи осуществлено численное моделирование вырождения безымпультного турбулентного следа в стратифицированной среде с применением как полного трехмерного уравнения несжимаемости, так и его упрощенного варианта (2.5). Результаты расчетов оказались достаточно близкими. Исходя из вышеизложенного, авторы (как и авторы работ [4, 19]) использовали уравнение несжимаемости в виде (2.5). Применение (2.5) существенно упрощает численный алгоритм решения задачи. Система уравнений (2.1)–(2.5) отличается от принятой в [4] отсутствием в уравнении (2.1) величины $\partial \langle p_1 \rangle / \partial x$.

Модель турбулентного движения. Система уравнений (2.1)–(2.5) не замкнута. Компоненты тензора рейнольдсовых напряжений $\langle u'_i u'_j \rangle$ (кроме $\langle v' w' \rangle = \langle u'_2 u'_3 \rangle$), турбулентных потоков $\langle u'_i \rho' \rangle$ и дисперсии флуктуаций плотности $\langle \rho'^2 \rangle$ в настоящей работе аппроксимированы алгебраическими соотношениями [32] (по повторяющимся индексам предполагается суммирование):

$$\frac{\langle u'_i u'_j \rangle}{e} = \frac{2}{3} \delta_{ij} + \frac{1 - c_2}{c_1} \left(\frac{P_{ij}}{e} - \frac{2}{3} \delta_{ij} \frac{P}{e} \right) + \frac{1 - c_3}{c_1} \left(\frac{G_{ij}}{e} - \frac{2}{3} \delta_{ij} \frac{G}{e} \right); \quad (2.6)$$

$$-\langle u'_i \rho' \rangle = \frac{e}{c_1 T \epsilon} \left[\langle u'_i u'_k \rangle \frac{\partial \langle \rho \rangle}{\partial x_k} + (1 - c_2 T) \left(\langle u'_k \rho' \rangle \frac{\partial U_i}{\partial x_k} - \frac{g_i}{\rho_0} \langle \rho'^2 \rangle \right) \right]; \quad (2.7)$$

$$\langle \rho'^2 \rangle = -\frac{2}{c_T} \frac{e}{\epsilon} \langle u'_k \rho' \rangle \frac{\partial \langle \rho \rangle}{\partial x_k}; \quad (2.8)$$

$$P_{ij} = -\left\{ \langle u'_i u'_k \rangle \frac{\partial U_j}{\partial x_k} + \langle u'_j u'_k \rangle \frac{\partial U_i}{\partial x_k} \right\}, \quad G_{ij} = \frac{1}{\rho_0} \left(\langle u'_i \rho' \rangle g_j + \langle u'_j \rho' \rangle g_i \right), \quad (2.9)$$

где $i, j, k = 1, 2, 3$; $\mathbf{g} = (0, 0, -g)$; $2P = P_{ii}$; $2G = G_{ii}$; $U_1 = U$; $U_2 = V$; $U_3 = W$.

По аналогии с [4] упростим выражения (2.6)–(2.9) с учетом физических особенностей рассматриваемого течения — спутного струйного турбулентного течения в поле силы тяжести на больших расстояниях от тела. При этом соотношения (2.9) заменяются приближенными:

$$P_{11} = 2 \left(\langle u'v' \rangle \frac{\partial U_D}{\partial y} + \langle u'w' \rangle \frac{\partial U_D}{\partial z} \right), \quad P_{22} = P_{33} = 0, \quad P_{12} = \langle v'^2 \rangle \frac{\partial U_D}{\partial y}, \quad P_{13} = \langle w'^2 \rangle \frac{\partial U_D}{\partial z}.$$

i, j, k могут принимать значения 1, 2, 3

Выражения (2.6)–(2.8) упрощаются следующим образом:

$$\langle u'v' \rangle = \frac{1 - c_2}{c_1} \frac{e \langle v'^2 \rangle}{\varepsilon} \frac{\partial U_D}{\partial y} = K_y \frac{\partial U_D}{\partial y}; \quad (2.10)$$

$$\langle u'w' \rangle = (1 - c_2)e \langle w'^2 \rangle / \left[c_1 \varepsilon \left(1 - \frac{1 - c_3}{c_1 c_{1T}} \frac{g}{\rho_0} \frac{e^2}{\varepsilon^2} \frac{\partial \langle \rho \rangle}{\partial z} \right) \right] \frac{\partial U_D}{\partial z} = K_z \frac{\partial U_D}{\partial z}; \quad (2.11)$$

$$\langle \rho'^2 \rangle = -\frac{2}{c_T} \frac{e}{\varepsilon} \langle w' \rho' \rangle \frac{\partial \langle \rho \rangle}{\partial z}; \quad (2.12)$$

$$-\langle v' \rho' \rangle = \frac{e \langle v'^2 \rangle}{c_{1T} \varepsilon} \frac{\partial \langle \rho \rangle}{\partial y} = K_{\rho y} \frac{\partial \langle \rho \rangle}{\partial y}; \quad (2.13)$$

$$\begin{aligned} -\langle w' \rho' \rangle &= \frac{e}{c_{1T} \varepsilon} \left[\langle w'^2 \rangle \frac{\partial \langle \rho \rangle}{\partial z} + (1 - c_{2T}) \frac{g}{\rho_0} \langle \rho'^2 \rangle \right] = \\ &= e \langle w'^2 \rangle / \left[c_{1T} \varepsilon \left(1 - 2 \frac{1 - c_{2T}}{c_{1T} c_T} \frac{g}{\rho_0} \frac{e^2}{\varepsilon^2} \frac{\partial \langle \rho \rangle}{\partial z} \right) \right] \frac{\partial \langle \rho \rangle}{\partial z} = K_{\rho z} \frac{\partial \langle \rho \rangle}{\partial z}. \end{aligned} \quad (2.14)$$

Значения энергии турбулентности e , скорости диссипации ε и касательного рейнольдсова напряжения $\langle v'w' \rangle$ определяются из дифференциальных уравнений переноса:

$$U_\infty \frac{\partial e}{\partial x} + V \frac{\partial e}{\partial y} + W \frac{\partial e}{\partial z} = \frac{\partial}{\partial y} K_{ey} \frac{\partial e}{\partial y} + \frac{\partial}{\partial z} K_{ez} \frac{\partial e}{\partial z} + P + G - \varepsilon; \quad (2.15)$$

$$U_\infty \frac{\partial \varepsilon}{\partial x} + V \frac{\partial \varepsilon}{\partial y} + W \frac{\partial \varepsilon}{\partial z} = \frac{\partial}{\partial y} K_{ey} \frac{\partial \varepsilon}{\partial y} + \frac{\partial}{\partial z} K_{ez} \frac{\partial \varepsilon}{\partial z} + c_{\varepsilon 1} \frac{\varepsilon}{e} (P + G) - c_{\varepsilon 2} \frac{\varepsilon^2}{e}; \quad (2.16)$$

$$\begin{aligned} U_\infty \frac{\partial \langle v'w' \rangle}{\partial x} + V \frac{\partial \langle v'w' \rangle}{\partial y} + W \frac{\partial \langle v'w' \rangle}{\partial z} - \frac{\partial}{\partial y} K_{ey} \frac{\partial \langle v'w' \rangle}{\partial y} + \frac{\partial}{\partial z} K_{ez} \frac{\partial \langle v'w' \rangle}{\partial z} + (1 - c_2) P_{23} + \\ + (1 - c_3) G_{23} - c_1 \frac{\varepsilon}{e} \langle v'w' \rangle \quad \left(P_{23} = - \left\{ \langle v'^2 \rangle \frac{\partial W}{\partial y} + \langle w'^2 \rangle \frac{\partial V}{\partial z} \right\}, \quad G_{23} = - \frac{g}{\rho_0} \langle v' \rho' \rangle \right). \end{aligned} \quad (2.17)$$

Коэффициенты турбулентной вязкости в уравнениях (2.15)–(2.17) имеют вид [32]

$$K_{ey} = c_s e \langle v'^2 \rangle / \varepsilon, \quad K_{ez} = c_s e \langle w'^2 \rangle / \varepsilon, \quad K_{\rho y} = K_{ey} / \sigma, \quad K_{\rho z} = K_{ez} / \sigma. \quad (2.18)$$

В результате выполненных построений математическая модель дальнего турбулентного следа представляет собой систему дифференциальных уравнений (2.1)–(2.5), (2.15)–(2.17) с учетом (2.10), (2.11), (2.13), (2.14), (2.18). Величина $\langle \rho'^2 \rangle$ определяется из алгебраического соотношения (2.12); $c_1 = 2$, $c_2 = 0,6$, $c_3 = 0,6$, $c_{1T} = 3,2$, $c_{2T} = 0,5$, $c_T = 1,25$, $c_{\varepsilon 1} = 1,44$, $c_{\varepsilon 2} = 1,92$, $c_s = 0,22$, $\sigma = 1,3$ — эмпирические постоянные. Основное отличие данной математической модели от принятой в [4] заключается в использовании «изотропных» [32] соотношений (2.6) для определения компонент тензора рейнольдсовых напряжений вместо локально-равновесного приближения. Аппроксимация (2.6) в настоящей работе позволила получить лучшее соответствие расчетных результатов экспериментальным данным Линя и Пао [4] в линейно стратифицированной жидкости.

Начальные и граничные условия. Переменная x в уравнениях (2.1)–(2.4), (2.15)–(2.17) играет роль времени. При $x = x_0$ задавались следующие начальные условия:

$$\begin{aligned} U_D(x_0, y, z) = \theta_0(r), \quad e(x_0, y, z) = \theta_1(r), \quad \varepsilon(x_0, y, z) = \theta_2(r), \quad r^2 = y^2 + z^2 \quad (0 \leq r < \infty), \\ \langle \rho_1 \rangle = V = W = \langle v'w' \rangle = 0 \quad (-\infty < y < \infty, \quad -\infty < z < \infty, \quad x = x_0). \end{aligned}$$

Здесь $\theta_0(r)$, $\theta_1(r)$, $\theta_2(r)$ — финитные колоколообразные функции, согласующиеся с экспериментальными данными в однородной жидкости.

При $r \rightarrow \infty$ ставились условия невозмущенного потока:

$$U_D = e = \varepsilon = \langle v'w' \rangle = \langle \rho_1 \rangle = V = W = 0. \quad (2.19)$$

В настоящей работе рассматривались такие распределения $\rho_s(z)$, что функция $\rho_s(z) - \rho_0$ была антисимметричной функцией z . В этом случае из соображений симметрии решение отыскивалось лишь в первом квадранте плоскости (y, z) с использованием граничных условий в виде

$$\begin{aligned} \frac{\partial \langle \rho_1 \rangle}{\partial y} = \frac{\partial e}{\partial y} = \frac{\partial \varepsilon}{\partial y} - V = \frac{\partial W}{\partial y} = \frac{\partial U_D}{\partial y} = \langle v'w' \rangle = 0 \quad (y = 0, \quad z \geq 0), \\ \langle \rho_1 \rangle = \frac{\partial e}{\partial z} = \frac{\partial \varepsilon}{\partial z} = W = \frac{\partial V}{\partial z} = \frac{\partial U_D}{\partial z} = \langle v'w' \rangle = 0 \quad (z = 0, \quad y \geq 0). \end{aligned}$$

При численном решении задачи краевые условия (2.19), соответствующие $r \rightarrow \infty$, сносились на границы достаточно большого прямоугольника $z = z_*$ ($0 \leq y \leq y_*$), $y = y_*$ ($0 \leq z \leq z_*$).

Систему уравнений (2.2), (2.3), (2.5) удобно свести к следующей:

$$U_\infty \frac{\partial \omega}{\partial x} + V \frac{\partial \omega}{\partial y} + W \frac{\partial \omega}{\partial z} = \frac{g}{\rho_0} \frac{\partial \langle \rho_1 \rangle}{\partial y} - \frac{\partial^2}{\partial y \partial z} [\langle v'^2 \rangle - \langle w'^2 \rangle] - \frac{\partial^2}{\partial z^2} \langle v'w' \rangle + \frac{\partial^2}{\partial y^2} \langle v'w' \rangle; \quad (2.20)$$

$$\frac{\partial^2 \psi}{\partial y^2} + \frac{\partial^2 \psi}{\partial z^2} = \omega. \quad (2.21)$$

Здесь функция тока ψ определяется равенствами $V = \partial \psi / \partial z$, $W = -\partial \psi / \partial y$.

Обезразмеривание. Переменные задачи могут быть обезразмерены с использованием масштаба длины D (диаметра тела) и масштаба скорости U_∞ (скорости невозмущенного потока). Введем безразмерные переменные:

$$\begin{aligned} x^* = x/D, \quad y^* = y/D, \quad z^* = z/D, \quad U_i^* = U_i/U_\infty, \quad \langle u'_i u'_j \rangle^* = \langle u'_i u'_j \rangle / U_\infty^2, \\ e^* = e/U_\infty^2, \quad \varepsilon^* = \varepsilon D / U_\infty^3, \quad \langle \rho_1 \rangle^* = \langle \rho_1 \rangle / (aD\rho_0), \quad \langle u'_i \rho' \rangle^* = \langle u'_i \rho' \rangle / (aD\rho_0 U_\infty), \\ \langle \rho'^2 \rangle^* = \langle \rho'^2 \rangle / (aD\rho_0)^2 \quad (a = -(1/\rho_0) d\rho_s/dz, \quad z = 0). \end{aligned}$$

В результате в обезразмеренных уравнениях вместо g появится величина $4\pi^2/\text{Fr}^2$, где Fr — плотностное число Фруда, определяемое равенством $\text{Fr} = U_\infty T / D$ ($T = 2\pi/\sqrt{ag}$ — период Вайсяля — Брента). Для интерпретации результатов расчетов удобно ввести время t , связанное с расстоянием от тела: $t = x/U_\infty$, $t^* = t/T = xD/(U_\infty DT) = x^*/\text{Fr}$. В дальнейшем знак обезразмеривания (* сверху) будет опущен всюду, кроме обозначений на рисунках.

3. Алгоритм решения задачи. Для построения конечно-разностного алгоритма введем новые независимые переменные:

$$x' = x, \quad \xi = y' = \chi_1(y), \quad \eta = z' = \chi_2(z) \quad (x = x', \quad y = \varphi_1(\xi), \quad z = \varphi_2(\eta)). \quad (3.1)$$

Якобиан преобразования, осуществляющего переход от переменных (x, y, z) к переменным (x', y', z') , $J = \frac{\partial(x, y, z)}{\partial(x', \xi, \eta)} = \frac{\partial y}{\partial \xi} \frac{\partial z}{\partial \eta}$. Функции φ_1, φ_2 задавались таблично; их выбор позволял осуществлять сгущение узлов сетки в области больших градиентов плотности и в окрестности турбулентного следа. В новой системе координат (x', ξ, η) узлы расчетной сетки на плоскости (ξ, η) распределялись равномерно: $\xi_i = i\Delta\xi$, $\eta_j = j\Delta\eta$ ($i = 0, \dots, M_1$;

$j = 0, \dots, M_2$), $\varphi_1(\xi_{M_1}) = y_*$, $\varphi_2(\eta_{M_2}) = z_*$. Шаг сетки Δx в направлении оси x выбирался переменным.

Алгоритм решения задачи сводился к последовательному интегрированию системы уравнений (2.20), (2.21), (2.1), (2.4), (2.15)–(2.17), записанных в новой системе координат, на каждом слое n по переменной x . В его основе лежит использование методов расщепления по пространственным переменным [33]. Для решения уравнения переноса завихренности (2.20) применялась простейшая схема расщепления с аппроксимацией конвективных слагаемых односторонними разностями против потока. Значения функции тока ψ вычислялись с использованием итерационной схемы стабилизирующей поправки.

Остальные уравнения математической модели интегрировались с применением схемы расщепления по пространственным переменным; конвективные слагаемые аппроксимировались центрально-разностными соотношениями. В связи с громоздкостью конечно-разностные аналоги этих уравнений здесь не приводятся. Уравнения интегрировались поочередно с применением скалярных прогонок. При вычислении какой-либо из функций ψ , U_D , $\langle \rho_1 \rangle$, e , ε , $\langle v'w' \rangle$ на слое $(n+1)$ использовались уже известные на этом слое величины (функции), остальные брались с нижнего слоя n . Таким образом, привлекалась идея «блочного» аналога метода Зейделя (из соображений простоты реализации на ЭВМ).

Остановимся на аппроксимации краевых условий. Сложность представляют условия симметрии для дефекта осредненной продольной компоненты скорости U_D . Поскольку рассматривается безимпульсное турбулентное течение, следствием интегрирования уравнения (2.1) по полному поперечному сечению является закон сохранения

$$\iint_{-\infty}^{\infty} U_D dy dz = \iint_{-\infty}^{\infty} U_D(x_0, y, z) dy dz = \iint_{-\infty}^{\infty} J U_D(x_0, \xi, \eta) d\xi d\eta = I_0 = 0. \quad (3.2)$$

Как уже указывалось выше, для численного интегрирования уравнения (2.1) применялась схема расщепления по пространственным переменным. Эквивалентная ей схема в целых шагах содержит слагаемые порядка $O(\Delta x)$, отсутствующие в неявной конечно-разностной схеме, которая является непосредственной аппроксимацией (2.1). Эти слагаемые, а также центрально-разностные аппроксимации конвективных членов в уравнении (2.1) оказываются несогласованными с аппроксимацией условий Неймана на осях симметрии в смысле выполнения аналога закона сохранения (3.2) в первом квадранте плоскости (ξ, η) . Поскольку координатные оси можно считать границей области лишь условно, конечно-разностные уравнения как на целом, так и на дробном шаге решались вплоть до границы с привлечением условий симметрии (антисимметрии) вида (индекс n относится к переменной x')

$$(U_D)_{-1,j}^{n+1/2} = (U_D)_{1,j}^{n+1/2}, \quad e_{-1,j}^n = e_{1,j}^n, \quad \varepsilon_{-1,j}^n = \varepsilon_{1,j}^n, \quad \psi_{-1,j}^{n+1} = -\psi_{1,j}^{n+1} \quad (0 \leq j \leq M_2),$$

$$(U_D)_{i,-1}^{n+1} = (U_D)_{i,1}^{n+1}, \quad e_{i,-1}^n = e_{i,1}^n, \quad \varepsilon_{i,-1}^n = \varepsilon_{i,1}^n, \quad \psi_{i,-1}^{n+1} = -\psi_{i,1}^{n+1} \quad (0 \leq i \leq M_1).$$

Следствием такой аппроксимации граничных условий симметрии и применяемой схемы расщепления является закон сохранения, эквивалентный сеточной аппроксимации (3.2):

$$I_{01} = \left[\sum_{j=1}^{M_2-1} \sum_{i=1}^{M_1-1} J_{i,j} (U_D)_{i,j}^{n+1} + 0,5 \sum_{j=1}^{M_2-1} J_{0,j} (U_D)_{0,j}^{n+1} + 0,5 \sum_{i=1}^{M_1-1} J_{i,0} (U_D)_{i,0}^{n+1} + 0,25 J_{0,0} (U_D)_{0,0}^{n+1} \right] \Delta \xi \Delta \eta = 0. \quad (3.3)$$

В качестве граничных условий для e , ε , $\langle \rho_1 \rangle$ на осях координат использовались как

условия, подобные изложенным выше, так и простейшие аппроксимации условия Неймана:

$$e_{0,j}^{n+1/2} = e_{1,j}^{n+1/2}, \quad \varepsilon_{0,j}^{n+1/2} = \varepsilon_{1,j}^{n+1/2}, \quad \langle \rho_1 \rangle_{0,j}^{n+1/2} = \langle \rho_1 \rangle_{1,j}^{n+1/2},$$

$$e_{i,0}^{n+1} = e_{i,1}^{n+1}, \quad \varepsilon_{i,0}^{n+1} = \varepsilon_{i,1}^{n+1}, \quad \langle \rho_1 \rangle_{i,0}^{n+1} = 0 \quad (0 \leq i \leq M_1; \quad 0 \leq j \leq M_2).$$

Отклонение сеточных решений в норме, являющейся сеточным аналогом нормы пространства непрерывных функций, при этом не превышало 6 %.

Особое внимание уделено аппроксимации краевых условий для уравнения (2.1) в связи с тем, что недивергентность конечно-разностного алгоритма (невыполнение (3.3)) может приводить к значительному искажению решения даже в однородной жидкости [34].

4. Тестирование алгоритма. Сходимость алгоритма проверялась экспериментально, путем решения модельных задач. В случае однородной жидкости ($g = 0$) исходная дифференциальная задача эквивалентна следующей системе одномерных уравнений:

$$\frac{\partial U_D}{\partial x} = \frac{1}{r} \frac{\partial}{\partial r} \left(rK \frac{\partial U_D}{\partial r} \right); \quad (4.1)$$

$$\frac{\partial e}{\partial x} = \frac{1}{r} \frac{\partial}{\partial r} \left(rK \frac{\partial e}{\partial r} \right) + P - \varepsilon, \quad (4.2)$$

$$\frac{\partial \varepsilon}{\partial x} = \frac{1}{r} \frac{\partial}{\partial r} rK \frac{\partial \varepsilon}{\partial r} - c_{\varepsilon 2} \frac{\varepsilon^2}{e} + c_{\varepsilon 1} \frac{\varepsilon}{e} P, \quad (4.3)$$

где $K = \frac{1 - c_2}{c_1} \frac{\langle v'^2 \rangle e}{\varepsilon}$; $\langle v'^2 \rangle = \frac{2}{3} e - \frac{2}{3} \frac{1 - c_2}{c_1} \frac{e}{\varepsilon} P$; $P = K \left(\frac{\partial U_D}{\partial r} \right)^2$.

При $x = x_0 = 8$ задавались начальные условия [4], согласующиеся с экспериментальными данными Линя и Пао о вырождении турбулентных следов в однородной жидкости:

$$e(x_0, r) = E_0 \exp(-4r^2), \quad E_0 = e(x_0, 0), \quad \varepsilon(x_0, r) = \sqrt{12} E_0^{3/2} \exp(-6r^2),$$

$$U_D(x_0, r) = U_d(1 - 8r^2) \exp(-8r^2), \quad U_d = U_D(x_0, 0). \quad (4.4)$$

При $r = 0$ ставились краевые условия

$$\frac{\partial e}{\partial r} = \frac{\partial \varepsilon}{\partial r} = \frac{\partial U_D}{\partial r} = 0. \quad (4.5)$$

При $r \rightarrow \infty$ задавались нулевые краевые условия для искомых функций.

Задача (4.1)–(4.5) решалась с помощью следующего конечно-разностного алгоритма:

$$\frac{(U_D)_i^{n+1} - (U_D)_i^n}{\Delta x^n} = \frac{1}{r_i} (\Lambda U_D)_i^{n+1}; \quad (4.6)$$

$$\frac{e_i^{n+1} - e_i^n}{\Delta x^n} = \frac{1}{r_i} (\Lambda e)_i^{n+1} + P_i^{n+1} - \varepsilon_i^n; \quad (4.7)$$

$$\frac{\varepsilon_i^{n+1} - \varepsilon_i^n}{\Delta x^n} = \frac{1}{\sigma r_i} (\Lambda \varepsilon)_i^{n+1} - c_{\varepsilon 2} \varepsilon_i^{n+1} \varepsilon_i^n / e_i^{n+1} + c_{\varepsilon 1} \varepsilon_i^{n+1} P_i^{n+1} / e_i^{n+1} \quad (4.8)$$

$$(i = 1, \dots, M_r - 1; \quad n = 0, \dots, N).$$

Здесь $(\Lambda f)_i^{n+1} = (a_{i+1} f_{i+1}^{n+1} - (a_i + a_{i+1}) f_i^{n+1} + a_i f_{i-1}^{n+1}) / h_r^2$; $a_i = (r_i K_i^n + r_{i-1} K_{i-1}^n) / 2$; $P_i^{n+1} = K_i^n (((U_D)_{i+1}^{n+1} - (U_D)_{i-1}^{n+1}) / 2h_r)^2$; f — одна из функций U_D, e, ε .

Из соображений простоты шаг сетки по переменной r полагался постоянным. Разностные уравнения (4.6)–(4.8) решаются на каждом слое по x последовательно. Задача

(4.1)–(4.5) интегрировалась с использованием описанного выше конечно-разностного алгоритма на последовательности вложенных сеток. Решения сравнивались в равномерной норме. Расчеты проводились на сетках с параметрами:

1) $h_r^{(1)} = h_0 = 0,1$, $\tau_0^n = \Delta x^n = 0,01 \div 0,5$ (варьирование τ_0^n осуществлялось по формуле суммы членов арифметической прогрессии с разностью 0,01);

2) $h_r^{(2)} = h_0/2$, $\tau_1^n = \tau_0^n/4$;

3) $h_r^{(3)} = h_0/4$, $\tau_2^n = \tau_0^n/8$;

4) $h_r^{(4)} = h_0/8$, $\tau_3^n = \tau_0^n/16$.

При этом для $x = 100$ относительная разность решений на двух соседних сетках составила соответственно 4,9; 1,1; 0,35 % для энергии турбулентности e ; 4,05; 0,95; 0,5 % для скорости диссипации ϵ ; 5,8; 1,3; 0,56 % для U_D . Эти результаты свидетельствуют о сходимости в себе последовательности сеточных решений.

Дальнейшее тестирование осуществлялось по следующей схеме: полученное с применением весьма мелкой сетки ($\tau_3^n = \tau_0^n/16$, $h_r^{(4)} = h_0/8$) сеточное решение объявлялось «точным», и на нем тестировался алгоритм решения задачи применительно к уравнениям (2.1), (2.15), (2.16). Преобразование координат (3.1) для простоты считалось тождественным. Поскольку система уравнений (2.1), (2.15), (2.16) (и ее одномерный аналог (4.1)–(4.3)) является системой вырождающихся параболических уравнений [35], обладающей свойством конечной скорости распространения возмущений, оказалось достаточным положить $y_* = 5$, $z_* = 5$. Результаты сравнения сводятся к следующему. При $x = 100$ и параметрах равномерной расчетной сетки $\Delta x^n = \tau_3^n$, $h_y = h_z = h_0$; $\Delta x^n = \tau_2^n/4$, $h_y = h_z = h_0/2$; $\Delta x^n = \tau_0^n/8$, $h_y = h_z = h_0/4$ относительные отклонения сеточных решений двумерной задачи от «точного» для энергии турбулентности e составили 9,33; 6,8; 6,09 % соответственно. Отклонения для скорости диссипации ϵ получились равными 8,8; 5,4; 3,8 %; для дефекта скорости U_D — 14,4; 5,1; 4,4 %. Для проведения сравнения «точного» решения одномерной задачи (4.1)–(4.5) с решением ее двумерного конечно-разностного аналога значения одномерных функций восстанавливались в узлы двумерной области с помощью стандартной кубической сплайн-интерполяции.

Достаточно хорошо известным тестом для алгоритмов решения двумерного нелинейного уравнения теплопроводности является задача об анизотропной температурной волне [35]. Авторы проверяли сходимость алгоритма (после изменения одного из диффузионных уравнений математической модели) и на этом тесте.

Выполненный выше экспериментальный анализ сходимости представляет интерес также и в связи с тем, что он непосредственно связан с решаемой задачей и позволяет оценить параметры алгоритма, необходимые для достижения заданной точности при ее решении в полной постановке.

Этап алгоритма, связанный с интегрированием системы уравнений (2.20), (2.21), тестировался на задаче о динамике локального возмущения поля плотности в стратифицированной среде [28].

Работоспособность математической модели в полной постановке анализировалась на экспериментальных данных Линя и Пао о вырождении безымпulsive турбулентного следа в линейно стратифицированной среде [3, 4]. Результаты расчетов для плотностного числа Фруда $Fr = 31$ представлены на рис. 1–3. На рис. 1, 2 приведено изменение во времени осевых значений энергии турбулентности $e_0 = e_0(t) = e(t, 0, 0)$ и дефекта скорости $U_{D0} = U_{D0}(t) = U_D(t, 0, 0)$. Штриховые (однородная жидкость) и сплошные (стратифицированная) линии — результаты настоящей работы, точки 1, 2 — экспериментальные данные Линя и Пао, 3, 4 — результаты численных экспериментов Хесса [4] (светлые точки — однородная жидкость, темные — стратифицированная).

На рис. 3 рассчитанные значения дисперсии флуктуаций плотности $\Sigma_c =$

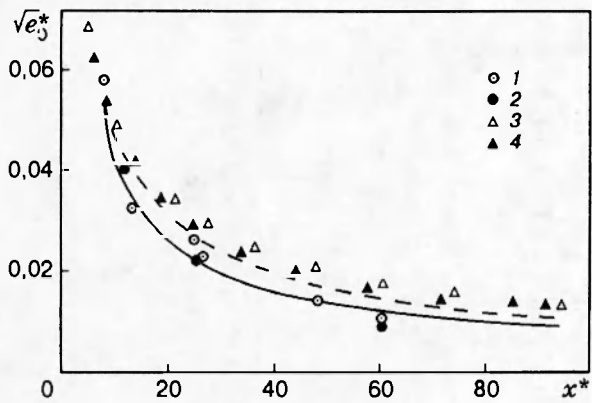


Рис. 1

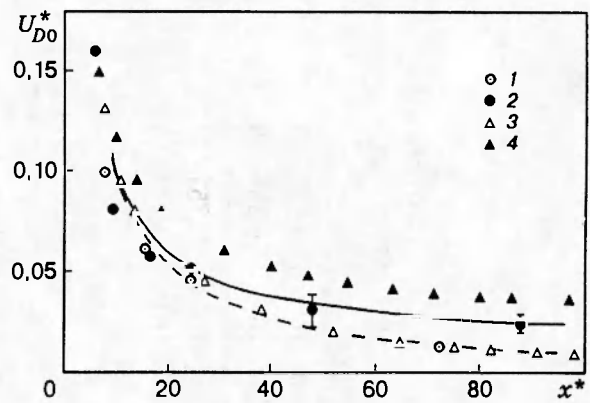


Рис. 2

$\sqrt{\langle \rho'^2(t, 0, 0) \rangle} / Fr^{1/4}$ сравниваются с экспериментальными данными Линя и Пао. Расчеты выполнены на сетке с числом узлов 61×51 (сетка 1). В исходной плоскости (y, z) узлы сеточной области (y_i, z_j) распределялись следующим образом:

$$y_i = ih_{1y}, i = 0, \dots, 30; y_i = y_{i-1}q_{1y}, i = 31, \dots, 60, q_{1y} = 1,04;$$

$$z_j = jh_{1z}, j = 0, \dots, 20; z_j = z_{j-1}q_{1z}, j = 21, \dots, 50, q_{1z} = 1,047$$

($h_{1y} = h_{1z} = 0,1$). Значение Δx^n изменялось от 0,01 до 0,5 по формуле суммы членов арифметической прогрессии с разностью 0,01.

Для контроля достоверности результатов, представленных на рис. 1-3, проводились также расчеты на более подробной сетке с числом узлов 81×61 (сетка 2):

$$y_i = ih_{2y}, i = 0, \dots, 40; y_i = y_{i-1}q_{2y}, i = 41, \dots, 80, q_{2y} = 1,041;$$

$$z_j = jh_{2z}, j = 0, \dots, 30; z_j = z_{j-1}q_{2z}, j = 31, \dots, 60, q_{2z} = 1,057$$

($h_{2y} = h_{1y}/2, h_{2z} = h_{1z}/2$). Значение Δx^n изменялось при этом от 0,0025 до 0,15 по формуле суммы членов арифметической прогрессии с разностью 0,0025 (здесь и ниже приведены безразмерные параметры сеток). Некоторые данные сопоставления результатов рас-

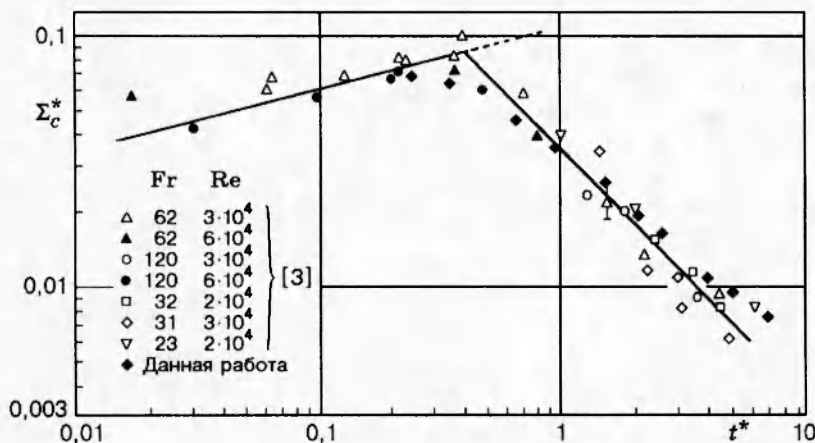


Рис. 3

Таблица 1

Сетка	t	$\sqrt{\bar{e}_0}$	ε_0	$\sqrt{\langle \rho_0'^2 \rangle}$	U_{D0}	L_y	L_z	ψ_m
1	0,5	$3,136 \cdot 10^{-2}$	$7,131 \cdot 10^{-5}$	$1,282 \cdot 10^{-1}$	$7,723 \cdot 10^{-2}$	$1,205 \cdot 10^0$	$1,195 \cdot 10^0$	$6,140 \cdot 10^{-4}$
2		$3,174 \cdot 10^{-2}$	$7,153 \cdot 10^{-5}$	$1,289 \cdot 10^{-1}$	$7,404 \cdot 10^{-2}$	$1,203 \cdot 10^0$	$1,194 \cdot 10^0$	$6,355 \cdot 10^{-4}$
1	4,0	$6,655 \cdot 10^{-3}$	$3,614 \cdot 10^{-7}$	$3,256 \cdot 10^{-2}$	$2,344 \cdot 10^{-2}$	$1,581 \cdot 10^0$	$1,484 \cdot 10^0$	$2,757 \cdot 10^{-4}$
2		$6,660 \cdot 10^{-3}$	$3,551 \cdot 10^{-7}$	$3,261 \cdot 10^{-2}$	$2,223 \cdot 10^{-2}$	$1,583 \cdot 10^0$	$1,481 \cdot 10^0$	$2,473 \cdot 10^{-4}$

Таблица 2

t	I_{01}		U_{D0}		t	I_{01}		U_{D0}	
0,5	$6,95 \cdot 10^{-10}$	$-5,83 \cdot 10^{-4}$	$2,46 \cdot 10^{-2}$	$1,19 \cdot 10^{-2}$	6,0	$1,28 \cdot 10^{-8}$	$-6,92 \cdot 10^{-4}$	$3,99 \cdot 10^{-3}$	$-3,97 \cdot 10^{-5}$
2,0	$3,56 \cdot 10^{-9}$	$-6,90 \cdot 10^{-4}$	$6,43 \cdot 10^{-3}$	$8,61 \cdot 10^{-4}$	8,0	$1,48 \cdot 10^{-8}$	$-6,91 \cdot 10^{-4}$	$3,64 \cdot 10^{-3}$	$-1,29 \cdot 10^{-4}$
4,0	$9,12 \cdot 10^{-9}$	$-6,93 \cdot 10^{-4}$	$4,64 \cdot 10^{-3}$	$1,56 \cdot 10^{-4}$	10,0	$1,57 \cdot 10^{-8}$	$-6,91 \cdot 10^{-4}$	$3,40 \cdot 10^{-3}$	$1,80 \cdot 10^{-4}$

Таблица 3

Сетка	t	$\sqrt{\bar{e}_0}$	ε_0	$\sqrt{\langle \rho_0'^2 \rangle}$	U_{D0}	L_y	L_z	ψ_m	E_t	P_t
3	0,5	$4,09 \cdot 10^{-3}$	$6,28 \cdot 10^{-8}$	$5,80 \cdot 10^{-2}$	$1,60 \cdot 10^{-4}$	$1,58 \cdot 10^0$	$1,35 \cdot 10^0$	$2,54 \cdot 10^{-4}$	$1,28 \cdot 10^{-5}$	$3,04 \cdot 10^{-6}$
4		$4,21 \cdot 10^{-3}$	$6,85 \cdot 10^{-8}$	$6,17 \cdot 10^{-2}$	$1,51 \cdot 10^{-4}$	$1,59 \cdot 10^0$	$1,31 \cdot 10^0$	$2,57 \cdot 10^{-4}$	$1,34 \cdot 10^{-5}$	$3,16 \cdot 10^{-6}$
3	4,0	$5,15 \cdot 10^{-4}$	$9,79 \cdot 10^{-11}$	$3,66 \cdot 10^{-2}$	$1,17 \cdot 10^{-5}$	$5,31 \cdot 10^0$	$1,02 \cdot 10^0$	$8,39 \cdot 10^{-4}$	$9,05 \cdot 10^{-7}$	$5,18 \cdot 10^{-6}$
4		$5,21 \cdot 10^{-4}$	$1,01 \cdot 10^{-10}$	$3,66 \cdot 10^{-2}$	$1,13 \cdot 10^{-5}$	$5,38 \cdot 10^0$	$0,96 \cdot 10^0$	$8,74 \cdot 10^{-4}$	$9,83 \cdot 10^{-7}$	$5,47 \cdot 10^{-6}$

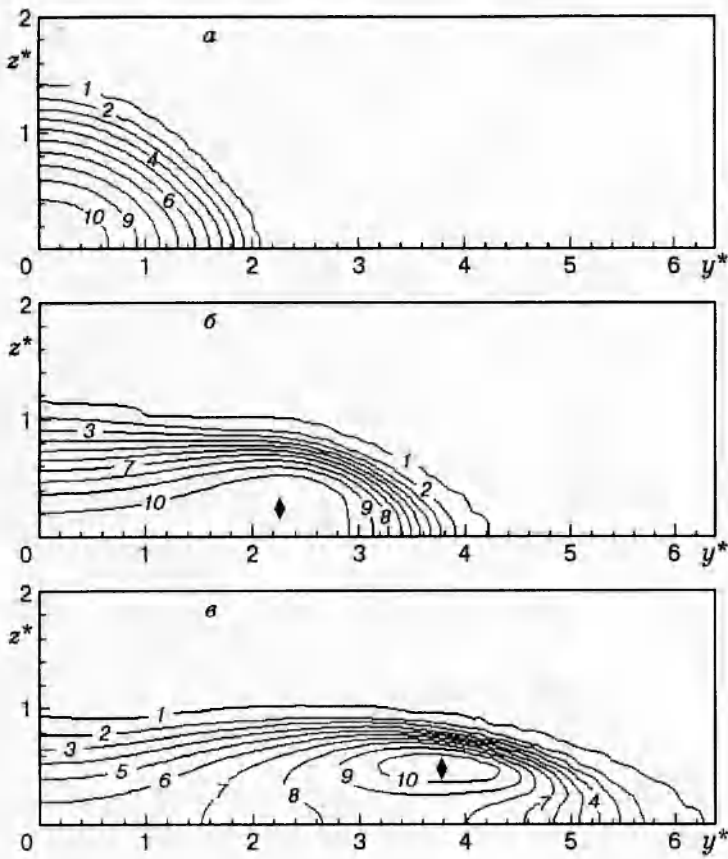


Рис. 4

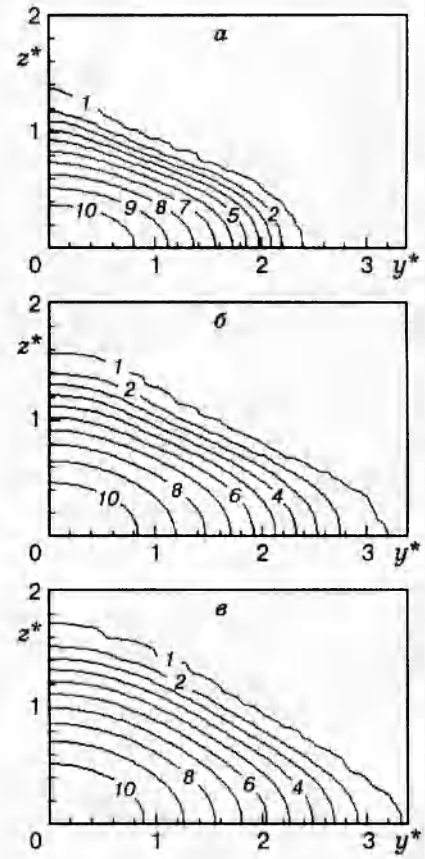


Рис. 5

четов на сетках 1, 2 приведены в табл. 1, где $\varepsilon_0 = \varepsilon_0(t) = \varepsilon(t, 0, 0)$, $\langle \rho_0'^2 \rangle = \langle \rho'^2(t, 0, 0) \rangle$, $\psi_m = \psi_m(t) = \max_{y_i, z_j} |\psi(t, y_i, z_j)|$, L_y, L_z — характерные вертикальный и горизонтальный размеры следа, определяемые из соотношений $e(t, L_y, 0) = 0,01e_0(t)$, $e(t, 0, L_z) = 0,01e_0(t)$. Отметим также, что отклонения массивов сеточных значений функций $\psi, U_D, e, \varepsilon$ в равномерной норме не превышали отклонений значений, приведенных в табл. 1. Это свидетельствует о надежности предложенного алгоритма. Представленные на рис. 1–3 данные демонстрируют достаточно высокую эффективность математической модели турбулентных следов.

Проанализируем роль аппроксимации краевых условий на осях симметрии для уравнения (2.1). В табл. 2 приведены результаты численного эксперимента, выполненного на сетке 1. Столбцы 2, 4 относятся к модифицированным краевым условиям для уравнения (2.1), 3, 5 — к условиям Неймана для дефекта продольной компоненты скорости. Роль аппроксимации краевых условий для (2.1) весьма существенна в изменении U_{D0} .

5. Основные результаты расчетов. Динамика турбулентного следа в пикноклине иллюстрируется рис. 4, 6, 8, а, 9–11. Расчеты выполнялись для распределения безразмерной плотности невозмущенной жидкости

$$\rho_{sn}(z) = \rho_s(z) = \hat{\rho}_0 - \beta \text{th}(z/\beta), \quad \hat{\rho}_0 = 1/aD, \quad \beta = 0,1.$$

Плотностное число Фруда полагалось равным 565, что соответствует условиям одного из лабораторных экспериментов Линя и Пао [3] в линейно стратифицированной среде. Начальные данные задавались в согласии с экспериментальными [3, 4] в однородной жидкости. Расчеты проводились на сетке с числом узлов 71×36 (сетка 3). В плоскости (y, z)

узлы сеточной области распределялись следующим образом:

$$y_i = ih_{3y}, i = 0, \dots, 30; y_i = y_{i-1}q_{3y}, i = 31, \dots, 70, q_{3y} = 1,06;$$

$$z_j = jh_{3z}, j = 0, \dots, 10; z_j = z_{j-1}q_{3z}, j = 11, \dots, 35, q_{3z} = 1,113$$

($h_{3y} = h_{3z} = 0,075$). Шаг Δx^n изменялся от $\Delta x^0 = 0,055$ по формуле $\Delta x^{n+1} = \Delta x^n + 0,055$ до 3,6 и далее полагался постоянным.

На рис. 4,а-в изображены линии равной энергии $e/e_m(t) = \text{const}$, $e_m(t) = \max_{y_i, z_j} e(t, y_i, z_j)$ при $t = 1; 3; 5$ соответственно; изолинии 1-10 представлены уровнями 0,01; 0,1; 0,2; 0,3; 0,4; 0,5; 0,6; 0,7; 0,8; 0,9; значок \blacklozenge — узел сетки, в котором достигается максимум $e(t, y, z)$.

Для сравнения на рис. 5,а-в приведены линии равной энергии для линейного распределения плотности невозмущенной жидкости ($Fr = 565$, обозначения те же, что и на рис. 4).

Конвективное течение иллюстрируется рис. 6,а-в и 7,а-в, где представлены линии тока $\psi = \text{const}$ для $t = 1; 3; 5$ соответственно; изолинии 1-9 отвечают уровням $-2 \cdot 10^{-4}$; -10^{-4} ; $-2,5 \cdot 10^{-5}$; 0 ; $5 \cdot 10^{-5}$; 10^{-4} ; $2 \cdot 10^{-4}$; $3 \cdot 10^{-4}$; $4 \cdot 10^{-4}$. Видно существенное различие в динамике конвективных вихрей в пикноклине (рис. 6) и линейной стратификации (рис. 7). Линейной стратификации присущ процесс дробления вихрей и образования вихрей противоположной направленности [23]. В рассмотренном пикноклине в каждом квадранте плоскости (y, z) формируется единственный вихрь, который при $t \geq 5$ становится практически стационарным.

Процесс вырождения турбулентного следа сопровождается генерацией внутренних волн. Внутренние волны, индуцируемые турбулентным следом в пикноклине, показаны на рис. 8,а, где представлена динамика линии $\hat{\rho}_0 - \langle \rho \rangle = \hat{\rho}_0 - \rho_{sn}(0,07)$ для моментов времени $t = 1; 2; 3; 4; 5; 6; 7; 8$ (линии 1-8). Видно, что для $t \geq 5$ возмущение мало изменяется, перемещаясь с практически постоянной скоростью вдоль оси y .

Картина внутренних волн, генерируемых турбулентным следом в линейно стратифицированной среде, иллюстрируется рис. 8,б, где изображена динамика изолинии $\hat{\rho}_0 - \langle \rho \rangle = \hat{\rho}_0 - \rho_{sl}(0,07)$ для $t = 1; 2; 3; 4; 5$ (линии 1-5; $\rho_{sl}(z) = \hat{\rho}_0 - z$). В отличие от пикноклина волновой процесс сопровождается появлением с ростом времени новых гребней и впадин. В результате в линейно стратифицированной среде течение характеризуется значительно меньшей амплитудой внутренних волн, причем с ростом времени эта амплитуда убывает. Внутренние волны на рис. 8 находятся в полном соответствии с результатами рис. 6, 7.

Процесс вырождения турбулентного следа представлен также на рис. 9, 10. На рис. 9 показано изменение характерных горизонтального L_y (линии 1, 3) и вертикального L_z (линии 2, 4) размеров турбулентного следа. Кривые 1, 2 отвечают пикноклину, 3, 4 — линейно стратифицированной жидкости. Видно, что турбулентный след в пикноклине растекается более интенсивно. Вместе с тем изменение энергии турбулентности на оси следа $e_0(t)$ (рис. 10, где 1 — пикноклин, 2 — линейная стратификация) слабо зависит от типа стратификации, хотя в распределениях изолиний $e = \text{const}$ имеются существенные различия (см. рис. 4, 5). В пикноклине максимальное значение энергии турбулентности при $t > 1,5$ достигается не на оси следа, что объясняется особенностями динамики осредненного конвективного движения, вызванного коллапсом следа (см. рис. 6-8).

Остановимся на оценках точности расчетов. Основные расчеты проводились на сетке 3. Выполнялись также расчеты на более подробной сетке (сетка 4), которая в горизонтальном направлении была устроена аналогично сетке 3, а узлы по вертикали распределялись следующим образом:

$$z_j = jh_{4z}, j = 0, \dots, 20; z_j = z_{j-1}q_{4z}, j = 21, \dots, 55, q_{4z} = 1,082$$

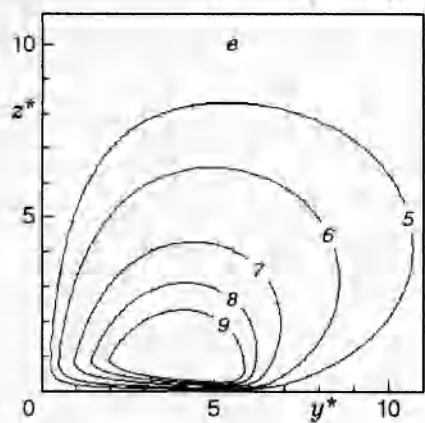
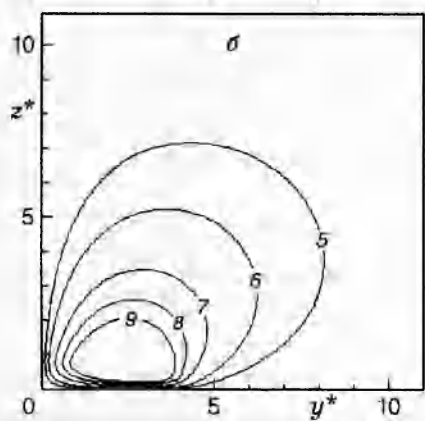
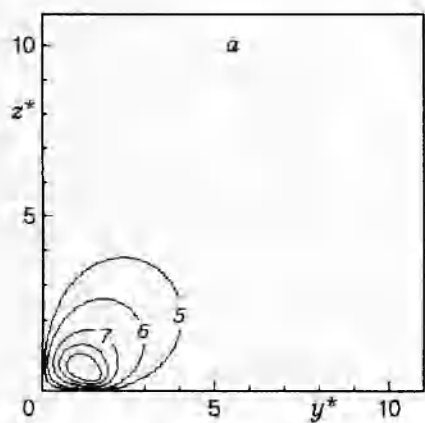


Рис. 6

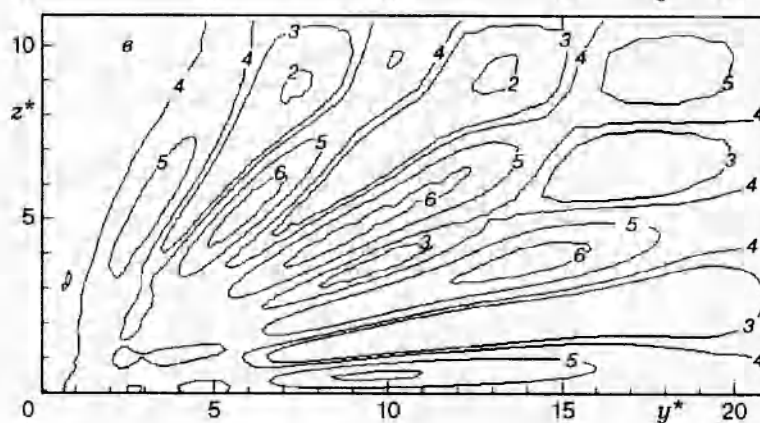
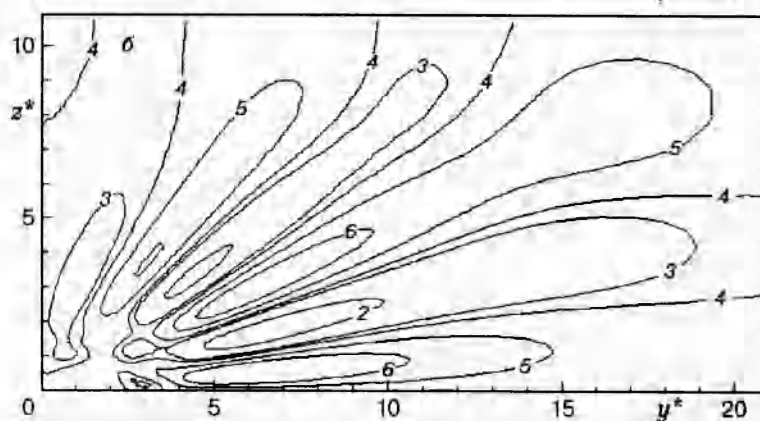
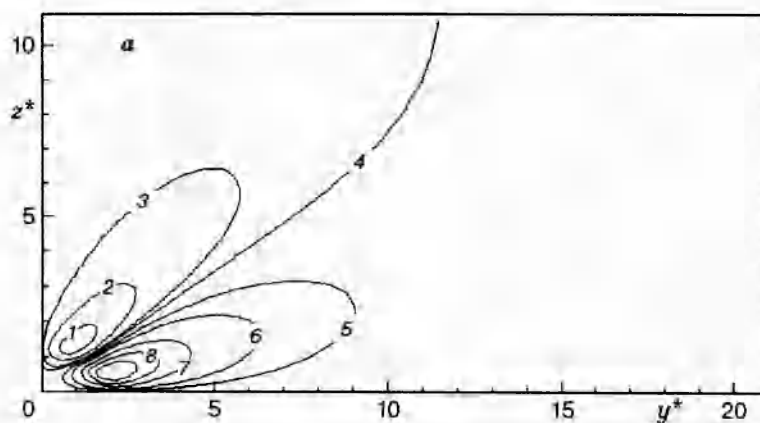


Рис. 7

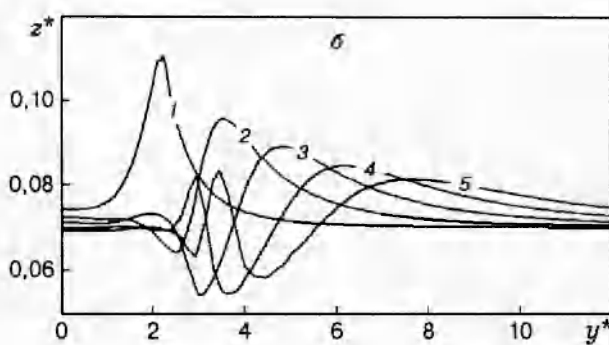
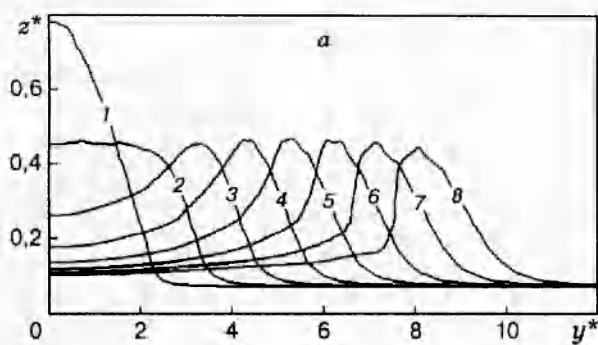


Рис. 8

Таблица 4

Модель	t	$\sqrt{\epsilon_0}$	ϵ_0	$\sqrt{\langle \rho_0^2 \rangle}$	L_y	L_z	ψ_m	E_t
Полная Упрощенная	2,0	$1,12 \cdot 10^{-3}$	$1,02 \cdot 10^{-9}$	$5,03 \cdot 10^{-2}$	$3,15 \cdot 10^0$	$1,37 \cdot 10^0$	$8,37 \cdot 10^{-4}$	$1,96 \cdot 10^{-6}$
		$1,11 \cdot 10^{-3}$	$9,95 \cdot 10^{-10}$	$4,97 \cdot 10^{-2}$	$3,13 \cdot 10^0$	$1,34 \cdot 10^0$	$8,24 \cdot 10^{-4}$	$1,88 \cdot 10^{-6}$
Полная Упрощенная	5,0	$4,02 \cdot 10^{-4}$	$4,71 \cdot 10^{-11}$	$3,03 \cdot 10^{-2}$	$6,35 \cdot 10^0$	$0,94 \cdot 10^0$	$7,92 \cdot 10^{-4}$	$7,57 \cdot 10^{-7}$
		$3,97 \cdot 10^{-4}$	$4,58 \cdot 10^{-11}$	$3,05 \cdot 10^{-2}$	$6,32 \cdot 10^0$	$0,92 \cdot 10^0$	$7,79 \cdot 10^{-4}$	$7,27 \cdot 10^{-7}$
Полная Упрощенная	8,0	$2,51 \cdot 10^{-4}$	$1,14 \cdot 10^{-11}$	$1,92 \cdot 10^{-2}$	$9,09 \cdot 10^0$	$0,97 \cdot 10^0$	$6,24 \cdot 10^{-4}$	$5,02 \cdot 10^{-7}$
		$2,48 \cdot 10^{-4}$	$1,11 \cdot 10^{-11}$	$1,94 \cdot 10^{-2}$	$9,05 \cdot 10^0$	$0,96 \cdot 10^0$	$6,11 \cdot 10^{-4}$	$4,80 \cdot 10^{-7}$

($h_{4z} = 0,035$). Шаг Δx^n (по аналогии с сеткой 3) изменялся от 0,015 до 0,9.

Некоторые данные сопоставления расчетов в пикноклине на сетках 3, 4 представлены в табл. 3. Видно, что результаты расчетов достаточно близки. Отклонения массивов значений искомых функций в норме, являющейся сеточным аналогом нормы пространства непрерывных функций, не превышали отклонений в характеристиках следа, представленных в табл. 3.

6. Упрощенные модели. Хорошо известным результатом расчетно-теоретических и экспериментальных исследований [36, 37] динамики безимпульсных турбулентных следов в однородной жидкости является факт существенно более быстрого вырождения дефекта продольной компоненты скорости U_D в сравнении с $\sqrt{\bar{e}}$. В связи с этим представляет интерес математическая модель безимпульсного турбулентного следа в пикноклине, в которой $U_D \equiv 0$.

Некоторые результаты расчетов с применением полной ($U_D \neq 0$) и упрощенной ($U_D \equiv 0$) моделей приведены в табл. 4. Численные эксперименты выполнены с применением сетки 3. Результаты расчетов можно считать достаточно близкими.

Дальнейшее упрощение математической модели течения связано с анализом поведения суммарных энергий турбулентности $E_t(t)$ и внутренних волн $P_t(t)$:

$$E_t(t) = \int_0^\infty \int_0^\infty e \, dy \, dz \equiv \int_0^\infty \int_0^\infty e J \, d\xi \, d\eta, \quad P_t(t) = \int_0^\infty \int_0^\infty \left(\frac{\bar{v}^2 + \bar{w}^2}{2} + \frac{4\pi^2}{\Gamma r^2} (\rho_1) z \right) J \, d\xi \, d\eta.$$

Изменение этих величин в зависимости от времени показано на рис. 11, где кривые 1, 2 соответствуют $E_t(t)$, $P_t(t)$ в пикноклине, 3, 4 — $E_t(t)$, $P_t(t)$ в линейно стратифицированной жидкости. Видно, что с ростом времени значение $E_t(t)$ монотонно убывает (кривые 1, 3) из-за диссипации энергии турбулентности в тепло под действием молекулярной вязкости. Вместе с тем вследствие турбулентной диффузии массы и работы сил плавучести часть энергии турбулентности переходит в потенциальную, начинается генерация внутренних волн, и $P_t(t)$ возрастает вплоть до $t \approx 3$ (кривые 2, 4). Однако при больших значениях времени $P_t(t)$ остается практически постоянной. Такое поведение $P_t(t)$, $E_t(t)$, как и в случае модельной задачи о динамике локализованной зоны турбулентного смещения [26, 29], свидетельствует о расщеплении течения на волновой и диффузионный процессы.

Последнее позволяет предложить для расчета динамики дальнего турбулентного следа упрощенные математические модели: уравнения Эйлера в приближении Буссинеска — для численного моделирования характеристик внутренних волн, диффузионную модель — для численного анализа характеристик собственно турбулентного следа. Некоторые результаты расчетов, демонстрирующие возможность применения упрощенной модели (уравнений Эйлера в приближении Буссинеска) для расчета генерируемых дальним турбулентным

Таблица 5

t	$\delta\rho$		$\delta\psi$	
5	0,184	0,095	0,090	0,031
6	0,196	0,162	0,140	0,085
7	0,194	0,168	0,178	0,134
8	0,254	0,205	0,208	0,168

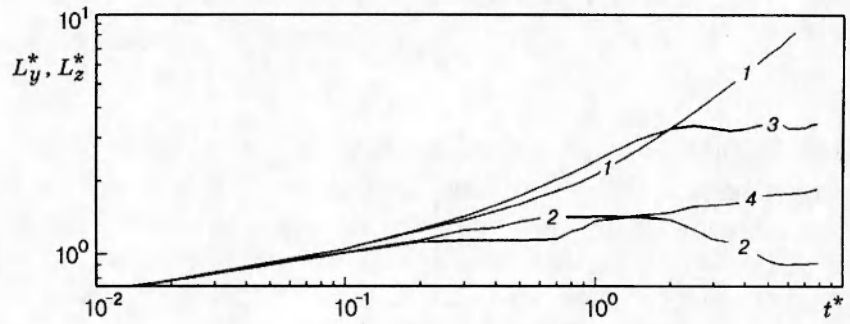


Рис. 9

следом внутренних волн, представлены в табл. 5, где

$$\delta\rho = \max_{i,j} |\langle \rho_1 \rangle_{i,j}^{n_0} - \langle \hat{\rho}_1 \rangle_{i,j}^{n_0}| / \max\{|\langle \rho_1 \rangle_{i,j}^{n_0}|, |\langle \hat{\rho}_1 \rangle_{i,j}^{n_0}|\}, \quad \delta\psi = \max_{i,j} |\psi_{i,j}^{n_0} - \hat{\psi}_{i,j}^{n_0}| / \max\{|\psi_{i,j}^{n_0}|, |\hat{\psi}_{i,j}^{n_0}|\}.$$

Здесь знаком $\hat{}$ помечены величины, полученные с применением упрощенной модели; номер временного слоя n_0 выбран так, чтобы значения времени соответствовали приведенным в табл. 5. В столбцах 2, 4 представлены результаты сопоставления расчетных данных, полученных по полной и упрощенной моделям, когда начальные условия для последней ставились на основе решения полной задачи при $t = 3$. В столбцах 3, 5 сопоставляются данные расчетов, в которых упрощенная модель использовалась при $t \geq 4$. Применение диффузионной модели при $t \geq 3$ приводит, в частности, к отклонениям (в сравнении с полной моделью) не более 20% в осевых значениях энергии турбулентности.

Отклонения в табл. 5 существенно превышают соответствующие случаю линейной стратификации [20, 21], что объясняется наличием в пикноклине слабого взаимодействия турбулентности в следе и генерируемых следом волновых движений. Тем не менее это взаимодействие невелико, и упрощенные модели целесообразно использовать для численного анализа течения.

Обратимся вновь к результатам рис. 8, а. Поскольку задача о динамике внутренних волн, генерируемых при коллапсе турбулентного следа в пикноклине, может рассматриваться как задача Коши для уравнений Эйлера в приближении Буссинеска, естественно попытаться оценить параметры этих волн с использованием асимптотического соотноше-

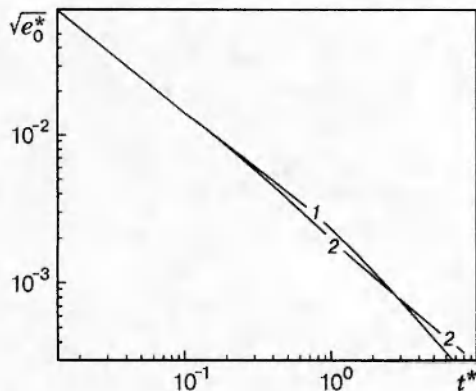


Рис. 10

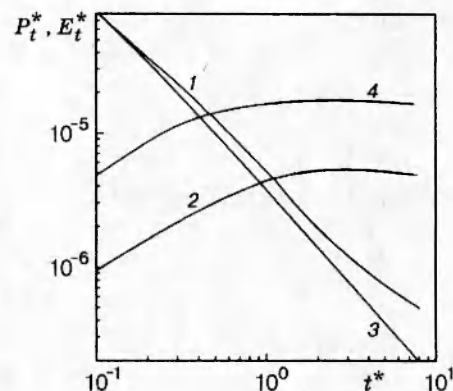


Рис. 11

ния [38], связывающего максимальную амплитуду \bar{A} и скорость распространения волны \bar{c} :

$$(\bar{c})^2 = \frac{\beta^2}{2} \left(1 + \frac{3}{5} \frac{\bar{A}}{\beta} \right). \quad (6.1)$$

Как следует из численных расчетов, $c = cT_*/D = 0,15$, $T_* = 1/\sqrt{ag}$, $\bar{A} = A/D = 0,39$. Соотношение (6.1) дает для $A = 0,39$ величину $\bar{c}_a = 0,13$, что свидетельствует, как и в [5], о возможности применения (6.1) для приближенных оценок.

Таким образом, в настоящей работе построена численная модель динамики безымпурсного турбулентного следа в пикноклине. Рассмотрены простая модифицированная $(\epsilon - \epsilon)$ -модель турбулентности и столь же простой (но достаточно надежный) конечно-разностный алгоритм решения. Совершенствование математической модели и ее дискретного аналога составляет предмет дальнейших исследований.

Работа выполнена при финансовой поддержке Российского фонда фундаментальных исследований (коды проектов 93-01-17925, 95-01-00910).

ЛИТЕРАТУРА

1. **Schooley A. H., Stewart R. W.** Experiments with a self-propelled body submerged in a fluid with vertical density gradient // *J. Fluid Mech.* 1963. V. 15, N 1. P. 83-96.
2. **Merrit G. E.** Wake growth and collapse in stratified flow // *AIAA J.* 1974. V. 12, N 7. P. 940-949.
3. **Lin J. T., Pao Y. H.** Wakes in stratified fluids // *Ann. Rev. Fluid Mech.* 1979. V. 11. P. 317-336.
4. **Hassid S.** Collapse of turbulent wakes in stable stratified media // *J. Hydraulics.* 1980. V. 14, N 1. P. 25-32.
5. **Gilreath H. E., Brandt A.** Experiments on the generation of internal waves in a stratified fluid // *AIAA J.* 1985. V. 23. P. 693-700.
6. **Сысоева Е. Я., Чашечкин Ю. Д.** Вихревая структура следа за сферой в стратифицированной жидкости // *ПМТФ.* 1986. № 2. С. 40-46.
7. **Hopfinger E. J., Flor J. B., Chomaz J. M., Bonneton P.** Internal waves generated by a moving sphere and its wake in stratified fluid // *Exps Fluids.* 1991. V. 11. P. 255-261.
8. **Lin Q., Boyer D. L., Fernando J. S.** Turbulent wakes of linearly stratified flow past a sphere // *Phys. Fluids A.* 1992. V. 4, N 8. P. 1687-1696.
9. **Chomaz J. M., Bonneton P., Butet A., Hopfinger E. J.** Vertical diffusion of the far wake of a sphere moving in a stratified fluid // *Phys. Fluids A.* 1993. V. 5, N 11. P. 2799-2806.
10. **Bonneton P., Chomaz J. M., Hopfinger E. J.** Internal waves produced by the turbulent wake of a sphere moving horizontally in a stratified fluid // *J. Fluid Mech.* 1993. V. 254. P. 23-40.
11. **Shishkina O. D.** The wake regimes influence on hydrodynamic characteristics of the submerged sphere in the stratified fluid // *Preprints of the 4th Int. Symp. on Stratified Flows, Grenoble, June 29 — July 2, 1994. Grenoble: Grenoble Inst. of Mech., 1994. V. 3, sess. A5, N 39.*
12. **Chashechkin Yu. D.** Internal waves, vortices, and turbulence in a wake past a bluff body in continuously stratified liquid // *Preprints of the 4th Int. Symp. on Stratified Flows, Grenoble, June 29 — July 2, 1994. Grenoble: Grenoble Inst. of Mech., 1994. V. 2, sess. B4, N 29.*
13. **Spedding G. R., Browand F. K., Fincham A. M.** The structure and long-time evolution of bluff body wakes in a stable stratification // *Preprints of the 4th Int. Symp.*

- on Stratified Flows, Grenoble, June 29 — July 2, 1994. Grenoble: Grenoble Inst. of Mech., 1994. V. 2, sess. B4, N 196.
14. **Voisin B.** Rayonnement des ondes internes de gravite. Application aux corps en mouvement. University Pierre et Marie Curie, 1991. Ph. doctor thesis.
 15. **Онуфриев А. Т.** Турбулентный след в стратифицированной среде // ПМТФ. 1970. № 5. С. 68–72.
 16. **Lewellen W. S., Teske M. E., Donaldson C. Dup.** Examples of variable density flows computed by second-order closure description of turbulence // AIAA J. 1976. V. 14. P. 382–387.
 17. **Даниленко А. Ю., Костин В. И., Толстых А. И.** О неявном алгоритме расчета течений однородной и неоднородной жидкости. М., 1985 (Препр. / ВЦ АН СССР).
 18. **Chernykh G. G., Fedorova N. N., Moshkin N. P.** Numerical simulation of turbulent wakes // Russian J. Theoret. and Appl. Mech. 1992. V. 2. P. 295–304.
 19. **Глушко Г. С., Гумилевский А. Г., Полежаев В. И.** Эволюция турбулентных следов за шарообразными телами в устойчиво стратифицированных средах // Изв. РАН. МЖГ. 1994. № 1. С. 13–22.
 20. **Chernykh G. G., Moshkin N. P., Voropayeva O. F.** Turbulent wakes in stratified fluids: results of numerical experiments // Preprints of the 4th Int. Symp. on Stratified Flows, Grenoble, June 29 — July 2, 1994. Grenoble: Grenoble Inst. of Mech., 1994. V. 1, sess. A2, N 103.
 21. **Chernykh G. G., Moshkin N. P., Voropayeva O. F.** Numerical models of momentumless turbulent wakes in stratified media // Proc. of the 7th Int. Conf. on the Meth. of Aerophys. Res., Novosibirsk, Aug. 22–26, 1994. Novosibirsk: Inst. Theoret. Appl. Mech., 1994. Pt 1. P. 58–63.
 22. **Shetz J. A.** Injection and Mixing in Turbulent Flow. N. Y.: American Inst. of Aeronautics and Astronautics, 1980.
 23. **Васильев О. Ф., Кузнецов Б. Г., Лыткин Ю. М., Черных Г. Г.** Развитие области турбулизованной жидкости в стратифицированной среде // Междунар. симпоз. по стратифицированным течениям. Новосибирск, 1972.
 24. **Трохан А. М., Чашечкин Ю. Д.** Генерация внутренних волн в стратифицированной жидкости импульсным гидродинамически линейным источником (двумерная задача) // Теория дифракции и распространения волн: Краткие тезисы докл. VII Всесоюз. симпоз. по дифракции и распространению волн. Ростов-на-Дону, 1977. Т. 3. С. 186–189.
 25. **Kao T. W., Pao H. P.** Wake collapse in the thermocline and internal solitary waves // J. Fluid Mech. 1980. V. 97, pt 1. P. 115–127.
 26. **Chernykh G. G., Lytkin Y. M., Sturova I. V.** Numerical simulation of internal waves induced by the collapse of turbulent mixed region in stratified medium // Proc. of Int. Symp. on Refined Modeling of Flows, Paris, Sept. 7–10, 1982. Paris, 1982. P. 671–679.
 27. **Попов В. А.** Развитие области частично перемешанной жидкости в тонкослоистой стратифицированной среде // Изв. АН СССР. Физика атмосферы и океана. 1986. Т. 22, № 4. С. 389–394.
 28. **Chernykh G. G., Filippova O. F., Zudin A. N.** Evolution of local density perturbation in stratified medium: results of numerical experiments // Proc. of the 1st Soviet Union — Japan Symp. on Computational Fluid Dynamics, Khabarovsk, Sept. 9–16, 1988. M.: Computer Center USSR AS, 1989. Pt 1. P. 128–133.
 29. **Воропаева О. Ф., Черных Г. Г.** Эволюция зоны турбулентного смешения в жидкости с нелинейной стратификацией // Моделирование в механике: Сб. науч. тр. / АН СССР. Сиб. отд-ние. ВЦ; ИТПМ. 1989. Т. 3(20), № 5. С. 3–29.

30. Flor J. B., Fernando H. J. S., Heijst G. J. F. The evolution of an isolated turbulent region in a two-layer fluid // Phys. Fluids. 1994. V. 6, N 1. P. 287–296.
31. Скурин Л. И. Квазиодномерная модель эволюции в стратифицированной среде турбулентной области следа за телом // Изв. АН СССР. Физика атмосферы и океана. 1986. Т. 22, № 4. С. 373–379.
32. Rodi W. Examples of calculation methods for flow and mixing in stratified fluids // J. Geoph. Res. 1987. V. 92, N C5. P. 5305–5328.
33. Яненко Н. Н. Метод дробных шагов решения многомерных задач математической физики. Новосибирск: Наука, 1967.
34. Деменков А. Г., Черных Г. Г. О численном моделировании струйных течений вязкой несжимаемой жидкости // Вычислительные технологии: Сб. науч. тр. / РАН. Сиб. отд-ние. Ин-т вычисл. технологий. 1995. Т. 4, № 12. С. 119–131.
35. Самарский А. А., Соболев И. М. Примеры расчета температурных волн // Журн. вычислит. математики и мат. физики. 1963. Т. 3, № 4. С. 702–719.
36. Сабельников В. А. О некоторых особенностях турбулентных течений с нулевым избыточным импульсом // Уч. зап. ЦАГИ. 1975. Т. 6, № 4. С. 71–74.
37. Алексенко Н. В., Костомаха В. А. Экспериментальное исследование динамики безимпульсного турбулентного струйного течения // ПМТФ. 1987. № 1. С. 65–69.
38. Benjamin T. B. Internal waves of permanent form in fluids of great depth // J. Fluid Mech. 1967. V. 29, N 3. P. 559–592.

*Поступила в редакцию 20/X 1995 г.,
в окончательном варианте — 20/XII 1995 г.*
